

Ana Claudia Neves Pereira

**EFEITOS DO EXTRATO HIDROALCOÓLICO DA
Acanthospermum hispidum SOBRE A RESPOSTA
IMUNOLÓGICA**

Este exemplar corresponde à versão final da Dissertação de Mestrado, apresentada à Pós-Graduação da Faculdade de Ciências Médicas - UNICAMP, para obtenção do Título de Mestre em Farmacologia da Farmacêutica – Ana Claudia Neves Pereira.

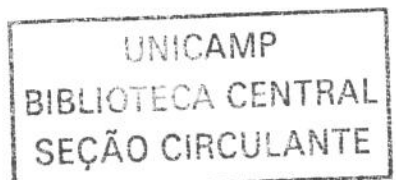
Campinas, 30 de janeiro de 2001.

Profa. Dra. Mary Luci de Souza Queiroz
- Orientadora -

Orientadora: Profa. Dra. Mary Luci de Souza Queiroz



Campinas, 2001



Ana Claudia Neves Pereira

***EFEITOS DO EXTRATO HIDROALCOÓLICO DA
Acanthospermum hispidum SOBRE A RESPOSTA
IMUNOLÓGICA***

Dissertação de Mestrado apresentada à Pós-Graduação da Faculdade de Ciências Médicas da Universidade Estadual de Campinas, para obtenção do título de Mestre em Farmacologia.

Orientadora: Profa. Dra. Mary Luci de Souza Queiroz



Campinas, 2001

UNIDADE	80
Nº CHAMADA	
T/UNICAMP	
P414e	
V	EX
TOMBO BC	53911
PROC.	129108
C	<input type="checkbox"/>
PREÇO	R\$11,00
DATA	29/04/03
Nº CPD	

BIBID . 290745

**FICHA CATALOGRÁFICA ELABORADA PELA
BIBLIOTECA DA FACULDADE DE CIÊNCIAS MÉDICAS
UNICAMP**

CM00182572-9

P414e

Pereira, Ana Claudia Neves

Efeitos do extrato hidroalcoólico da *Acanthospermum Hispidum*
sobre a resposta imunológica / Ana Claudia Neves Pereira. Campinas,
SP : [s.n.], 2001.

Orientador : Mary Luci de Souza Queiroz

Tese (Mestrado) Universidade Estadual de Campinas. Faculdade de
Ciências Médicas.

1. Sistema imune. 2. Listeria monocytogenes. 3. Plantas
medicinais. 4. Hematopoese. I. Mary Luci de Souza Queiroz. II.
Universidade Estadual de Campinas. Faculdade de Ciências Médicas.
III. Título.



Banca Examinadora da Dissertação de Mestrado

Orientador:

Profa. Dra. Mary Luci de Souza Queiroz

Membros:

1. Profa. Dra. Mary Luci de Souza Queiroz

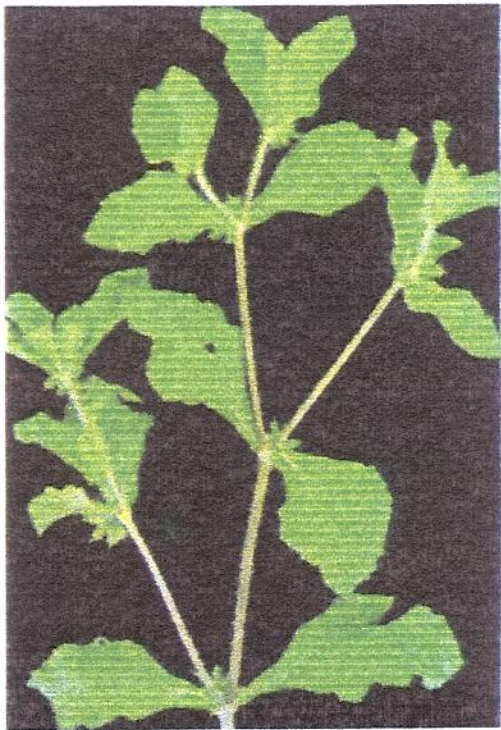
2. Profa. Dra. Nancy Airoldi Teixeira

3. Profa. Dra. Giselle Zenker Justo

Programa de Pós-Graduação em Farmacologia da Faculdade de Ciências Médicas da Universidade Estadual de Campinas.

Data: 30 /01/01

2003_15_19_1



Acanthospermum hispidum

AGRADECIMENTOS

Primeiramente, desejo expressar o sentimento de gratidão e respeito à Profa. Dra Mary Luci de Souza Queiroz, orientadora desta Tese, pela oportunidade de crescimento pessoal e realização que me concedeu.

Inesquecivelmente, agradeço à Profa. Dra. Claudia Bincoletto pela abertura deste caminho.

Agradeço também aos colegas e amigos do laboratório: Ana Paula, Adriana, Daniela, Fátima (*in memoria*), Giselle, Luciana, Marize, Silvia, Solange, Sueli, Raphael, Valdirene, pelas oportunidades de aprendizado, amizade e cooperação recebidas no decorrer de minhas atividades de mestrado.

Aos profissionais do Departamento de Comunicação Social do Hemocamp: Sandrinha e Rosana, por todos os momentos de ajuda e orientação recebidas durante este período de mestrado.

Aos setor de Microbiologia do Departamento de Patologia Clínica desta Universidade pelo auxílio e orientação técnica no desenvolver deste trabalho.

À CAPES pelo auxílio financeiro.

Ao Hemocamp, pelo apoio financeiro, o qual foi muito importante para a realização deste trabalho.

À Dra. Alba R. M. Souza Brito pelo auxílio na obtenção do extrato, o qual foi essencial para a elaboração desta tese.

A todos os funcionários do Departamento de Farmacologia que possibilitaram o desenvolvimento deste trabalho.

E a todos àqueles que eventualmente não estejam citados, mas que auxiliaram-me neste trabalho de mestrado.

Muito obrigada.

DEDICATÓRIA

Dedico este trabalho á FORÇA MAIOR que nos dá sonhos e desejos, mas também nos oferece as oportunidades, impulso e força para realizá-los.

*À minha mãe e ao meu pai que foram instrumentos divinos para minha existência e que são fontes de amor e força em minha vida.
Aos amigos que com suas palavras me ajudaram neste período.*

LISTA DE FIGURAS

Figura 1	pág. 36
Figura 2	pág. 38
Figura 3	pág. 40
Figura 4	pág. 42

LISTA DE TABELAS

TABELA 1	pág. 61
TABELA 2	pág. 62
TABELA 3	pág. 63
TABELA 4	pág. 64
TABELA 5	pág. 65
TABELA 6	pág. 66
TABELA 7	pág. 67

SUMÁRIO

RESUMO.....	xiii
SUMMARY.....	xv
I- INTRODUÇÃO.....	19
II- OBJETIVOS.....	25
III- MATERIAIS E MÉTODOS.....	27
1. Animais	27
2. Obtenção da <i>Acanthospermum hispidum</i>	27
3. <i>Listeria monocytogenes</i>	28
4. Tratamento	29
5. Procedimentos Experimentais	30
5.1. Cultura clonal dos precursores hematopoiético da medula óssea de camundongos (CFC-GM).....	30
5.1.2.Preparação do fator estimulador do crescimento de colônias (CSF). Meio Condicionado de células Esplênicas (SCM).....	31
5.2. Realização da curva de sobrevida.....	32
6. Metodologia Estatística	33
IV- RESULTADOS	34
1. Efeitos do tratamento com EHA <i>A.hispidum</i> sobre o crescimento e diferenciação de precursores hematopoiéticos da medula óssea	35
2. Efeitos do tratamento com EHA <i>A.hispidum</i> sobre o crescimento e diferenciação de precursores hematopoiéticos do baço	37

3. Efeitos do EHA <i>A.hispidum</i> sobre o peso do baço	39
4. Efeitos do EHA <i>A.hispidum</i> na sobrevida de animais infectados <i>pela Listeria monocytogenes</i>	41
V- DISCUSSÃO.....	44
VI- CONCLUSÕES.....	49
VII- REFERÊNCIAS BIBLIOGRÁFICAS.....	51
VIII- APÊNDICE	61

Resumo

Neste trabalho tivemos como objetivo a investigação dos efeitos do extrato hidroalcoólico da *Acanthospermum hispidum* (EHA *A.hispidum*) sobre o crescimento e diferenciação das células progenitoras hematopoiéticas para a série granulócitos-macrófagos (CFU-GM) da medula óssea e do baço, em animais infectados com *Listeria monocytogenes*.

Para a realização dos experimentos camundongos Balb/c foram tratados oralmente por cinco dias com EHA *A.hispidum* nas doses de 100, 500 ou 1000mg/kg/dia. Ao final do tratamento, os animais foram infectados intraperitonealmente com uma dose subletal de *Listeria monocytogenes* (1×10^5 /animal) e sacrificados 48 e 72 horas após a infecção. Os animais somente infectados apresentaram uma diminuição no número de colônias de precursores hematopoiéticos (CFU-GM) na medula nas 48 (I-48h) e 72 (I-72h) horas após a infecção. A administração das 3 diferentes doses de EHA *A.hispidum* aos animais normais conduziu a uma diminuição dose-dependente do CFU-GM da medula em relação ao grupo controle. Os animais tratados/infectados com as três diferentes doses de EHA *A.hispidum* nas 48 (TI-48h) e 72 (TI-72h) horas após a infecção, mantiveram a diminuição provocada pela infecção no número de CFU-GM da medula óssea da infecção, sendo que esta diminuição foi mais acentuada no período de 72 horas após a infecção.

Com relação à hematopoiese esplênica, a inoculação de uma dose subletal de *Listeria monocytogenes* levou a um aumento no número de CFU-GM no baço nas 48 e 72 horas após a infecção. Os animais normais tratados com as 3 diferentes doses de EHA *A.hispidum* tiveram um aumento no número de CFU-GM do baço em relação ao grupo controle. Os animais tratados/infectados (TI-48h) com as três diferentes doses de EHA *A.hispidum* mantiveram o número de CFU-GM do baço quando comparado ao grupo infectado (I-48h). Após 72 horas, os grupos tratados/infectados (TI-72h) com as doses de 100 e 500mg/kg de EHA *A.hispidum* apresentaram uma diminuição no número de CFU-GM em relação ao infectado (I-72h), enquanto

que o grupo tratado com a dose de 1000 mg/kg de EHA *A.hispidum*, neste mesmo período de infecção apresentou aumento significativo no número de CFU-GM em relação a todos os demais grupos.

O peso do baço dos animais tratados com as doses de 500 e 1000mg/kg de EHA *A.hispidum* aumentou em relação ao grupo controle. A infecção produziu aumento no peso do baço nas 48 e 72 horas em relação ao controle, sendo que os animais infectados (I-48h) tiveram aumento superior aos dos infectados (I-72h). Valores normais foram observados nos animais tratados/infectados (TI-48h) com 100, 500 e 1000mg/kg de EHA *A.hispidum*. Porém, nos animais tratados/infectados (TI-72h) com as 3 doses o peso do baço não variou em relação ao grupo infectado (I-72h).

Com o objetivo de verificar a resistência à infecção dos animais previamente tratados com as 3 diferentes doses do extrato hidroalcoólico de *Acanthospermum hispidum* realizamos uma curva de sobrevida com camundongos Balb/c infectados com uma dose letal de *L.monocytogenes*. Após 30 dias de observação, 30% dos animais tratados com a dose de 100mg/kg, e 60% dos animais tratados com 500 e 1000 mg/kg sobreviveram a dose letal da *L.monocytogenes*, enquanto que 100% dos animais do grupo controle infectado morreram em seis dias.

Nossos resultados sugerem que o EHA *A.hispidum* aumenta a resistência dos camundongos Balb/c infectados com a *L. monocytogenes* através de mobilização dos precursores hematopoiéticos medulares que se alojam no baço.

Summary

The objective of this work was to investigate the effects of *A.hispidum* hidroalcoholic extract (*A. hispidum* HAE) on the growth and differentiation of granulocyte-macrophage hematopoietic progenitor cells (CFU-GM) from the bone marrow and spleen of mice infected with *L. monocytogenes*.

In this study, groups of Balb/c mice were treated orally for 5 days with 100, 500 or 1000mg/kg/ day of *A. hispidum* HAE. At the end of the treatment, mice were infected intraperitoneally with a sublethal dose of *L. monocytogenes* (1×10^5 bacteria/animal) and sacrificed 48 or 72 hours after infection. The administration of the 3 different doses of *A. hispidum* HAE to normal mice led to a dose-dependent decrease in the number of CFU-GM in the bone marrow in relation to control. A decrease in the number of CFU-GM in the bone marrow of infected mice at 48 (I-48h) and 72 (I-72h) hours after infection was observed, when compared with control. The effect observed in bone marrow CFU-GM number of infected mice was maintained when mice were pre-treated with the 3 different doses of *A. hispidum* HAE, however the decrease was more accentuated at 72 hours after infection .

Treatment with these 3 doses of *A. hispidum* HAE enhanced the number of CFU-GM in the spleen of normal mice, in relations to controls. A significant increase of splenic CFU-GM was also observed in infected mice.

At 48 hours after the infection, the animals previously treated with the 3 different doses of *A. hispidum* HAE kept the number of CFU-GM at the infected (I-48h) level. At 72 hours, the groups treated/infected mice with the doses of 100 and 500mg/kg after infection had a decrease in the number of CFU-GM in relation to infected group (I-72h), while, infected mice pre-treated with 1000mg/kg showed an increase in the number of splenic CFU-GM over the levels of infection.

Spleen weight also increased in the groups of 500 and 1000mg/kg of *A. hispidum* HAE in relation to control. The infection also increased the spleen weight at both periods after infection. A decrease was observed in groups with the 3 doses of *A. hispidum* HAE at 48 hours after infection, whereas at 72 hours, no changes were produced in the spleen weight of infected mice when mice were pre-treated with the 3 doses.

We analyzed the mice resistance previously treated with the 3 different doses of *A. hispidum* HAE and infected with a lethal dose of *L. monocytogenes* (3×10^5 bacteria/animal) and observed during 30 days after infection. Thirty percent of the 100mg/kg treated mice and 60% of 500mg/kg and 1000 mg/kg treated mice survived , while 100% of control mice died into 6 days.

Based on these findings, we suggest that *A. hispidum* HAE may induce mobilization of hematopoietic precursors from the bone marrow to the spleen, thus increasing the resistance of *L. monocytogenes* infected mice.

I. Introdução

Plantas medicinais têm sido utilizadas como fontes importantes para a descoberta de novas drogas. No Brasil, existe cerca de 120 mil espécies vegetais das quais, acredita-se que 20% tenham propriedades medicinais. Destas, apenas cerca de 3 mil espécies foram estudadas do ponto de vista fitoquímico e/ou farmacológico (BARATA, 1991; SOUZA BRITO & SOUZA BRITO, 1993). A Organização Mundial de Saúde estima que 80% da população utiliza plantas para o tratamento de doenças primárias (WHO, 1993). A investigação destas plantas permite a descoberta de novos fármacos e muitas vezes a elucidação do mecanismo de ação de uma substância até então pouco estudada.

Acanthospermum hispidum (Asteraceae - Compositae) é uma planta herbácea, ereta, com 50 - 90 cm de altura (LEITÃO FILHO *et al.*, 1972). É amplamente distribuída nas áreas tropicais da África e América do Sul (SUMMERFIELD & SAALMÜLLER, 1998) mas ocorre também em todo o continente e em outras áreas do mundo; no Brasil é encontrada em todo o território, com maior ou menor incidência, sendo vulgarmente conhecida como carrapicho- de- carneiro, chifre-de- veado (LEITÃO FILHO *et al.*, 1972; KISSMAN, 1978) e espinho de cigano (CAETANO *et al.*, 1990).

A. hispidum é amargotônica, aromática e mucilaginosa (MEDEIROS *et al.*, 1988), sendo muito usada na medicina tradicional brasileira como anti-asmática, antitussígena, diurética, febrífuga, sudorífica, tônica e diaforética, e é usada ainda no tratamento de bronquite, dor de garganta, hematúria e gonorréia (CAETANO *et al.*, 1990; MÉSSIAS *et al.*, 1994). Na maioria das indicações populares a planta é utilizada na forma de chá ou xarope, com variações das partes utilizadas de acordo com a doença. As folhas da *A. hispidum* são usadas na medicina tradicional em Benin, África, também para terapia de doenças infecciosas (SUMMERFIELD & SAALMÜLLER, 1998). Por outro lado, esta planta apresenta indícios de toxicidade em animais

quando ingerida em grandes quantidades durante um largo período de tempo (ALI & ADAM, 1978^a, 1978^b; LEMÔNICA & ALVARENGA, 1994)

Com relação às ações sobre microrganismos patogênicos, o extrato aquoso bruto da raiz *in vitro*, apresentou atividade antibacteriana especialmente contra *Staphylococcus aureus* e menos relevante contra *Salmonella* e *E.coli*. Os mesmos resultados não foram observados com o extrato hidroalcoólico da raiz (1:1), que também apresentou baixo índice de toxicidade (CAETANO et al., 1990). Da *A.hispidum* foram isolados sesquiterpenóides e compostos fenólicos que apresentam atividade anti-cancerígena e citotóxica (JAKUPOVIC et al., 1986; DI STASI et al., 1989). Além destes foram isolados catecolaminas, cumarinas, flavonas, flavononas, leucoantocianidinas, saponinas e xantonas (CAETANO et al., 1990).

Considerando os aspectos citados acima, utilizamos o modelo de infecção pela *Listeria monocytogenes* em camundongos, o qual tem sido extensivamente utilizado no estudo da interação entre parasita e hospedeiro para avaliação da resposta imunológica mediada por células (MACKANESS, 1962; HAHN & KAUFMANN, 1981).

Listeria monocytogenes é um bacilo gram-positivo que pertence ao grupo das bactérias facultativas intracelulares. Seu habitat preferido são os macrófagos e os hepatócitos. A infecção caracteriza-se por duas fases distintas. Uma fase inicial de imunidade inespecífica, onde há predominância da resposta dos neutrófilos, macrófagos e células “natural killers” (NK) e, uma fase mais tardia, onde há envolvimento das células T, que é o fator mais importante para ativação do potencial antibacteriano dos macrófagos (MACKANESS & BLANDEN, 1967; MACKANESS & HILL, 1969; NORTH et al., 1974), conduzindo a uma imunidade com completa erradicação do patógeno no hospedeiro (ROGERS et al., 1995). Após a injeção intravenosa de uma dose subletal de *L. monocytogenes* em camundongos, os microrganismos são

rapidamente removidos da corrente sanguínea em menos de uma hora pelas células do figado (células de Kupffer) e 60-80% são inativados durante as primeiras 8-12 horas após a infecção (CONLAN & NORTH, 1991). A maioria das bactérias vivas irão se alojar no baço (MACKANESS, 1962), onde haverá crescimento da bactéria sem interrupção durante as primeiras 24 horas (NORTH& CONLAN, 1998). Após este período, mecanismos independentes das células T levam a redução do número bacteriano. Os polimorfonucleares, monócitos teciduais e células NK atuam no local da infecção através de fatores liberados pelos próprios fagócitos infectados, como o interferon- γ (IFN- γ), fator de necrose tecidual (TNF), IL-1, IL-6, IL-8 e C5a (BAGGIOLINI et al. 1989, BANCROFT *et al.*, 1989, SERUSHAGO *et al.*, 1992; ROGERS *et al.*, 1992; PFEFFER *et al.*, 1993; KOPF *et al.*, 1994); formando o foco inflamatório (NORTH, 1970; ROSEN *et al.*, 1989). A migração das células fagocitárias originárias da medula óssea ao local da replicação da bactéria é um componente essencial à resposta primária à *L. monocytogenes* (NORTH, 1970; BENNET & BAKER, 1977; LEPAY *et al.*, 1985; ROSEN *et al.*, 1989). Animais que não conseguem mobilizar estas células ao local de deposição bacteriana, ou o fazem de forma ineficiente, apresentam uma multiplicação exacerbada no número de *L. monocytogenes* no figado e um aumento da taxa de mortalidade (STEVENSON, 1981; GERVAIS *et al.*, 1986; ROSEN *et al.*, 1989). Estas células fagocitárias são originárias das células primitivas pluripotenciais da medula óssea, chamadas células formadoras de colônias (CFCs), as quais podem dar origem a qualquer célula sanguínea dependendo do estímulo recebido (METCALF, 1984; QUEIROZ, 1988). Os fatores de crescimento e diferenciação hematopoiéticos são conhecidos como fatores estimuladores de colônia (CSF): G-CSF (granulócitos), M-CSF (macrófagos), GM-CSF (granulócitos e macrófagos) e multi-CSF ou IL-3 (estimula a proliferação de vários tipos de células hematopoiéticas) (CHEERS *et al.*, 1988;

CHEERS & STANLEY, 1988), sendo produzidos em grande quantidade durante a infecção (WING *et al.*, 1984; YOUNG & CHEERS, 1986). Alguns trabalhos demonstram que o M-CSF é o fator em maior concentração possuindo um papel importante na geração e maturação dos fagócitos mononucleares e até mesmo aumentando a atividade bactericida destas células (CHEERS *et al.*, 1988, 1989; CHEERS & STANLEY, 1988; GREGORY *et al.*, 1992). Níveis séricos deste fator estão diretamente relacionados com a dose de bactéria administrada e com o aumento da migração das células da medula óssea, entretanto, parecem correlacionar inversamente com o número bacteriano presente no figado e no baço dos animais (WING *et al.*, 1985, 1987; YOUNG & CHEERS, 1986; CHEERS & STANLEY, 1988). Embora os camundongos susceptíveis à listeriose apresentem elevados níveis de CSFs séricos, o número de precursores hematopoiéticos de medula óssea para granulócitos e macrófagos (CFU-GM) apresenta-se diminuído no período inicial da infecção, mantendo-se em níveis abaixo do controle por vários dias (WING *et al.*, 1984, 1985).

Embora os macrófagos representem as células efetoras, a presença das células T é essencial para ativar o seu potencial antibacteriano (MACKANESS & BLANDEN, 1967; MACKANESS & HILL, 1969). Todos os três subgrupos de células T, CD4⁺αβ, CD8⁺ αβ, e CD4⁻CD8⁻γδ contribuem para uma perfeita proteção contra *L. monocytogenes* (MOMBAERTS *et al.*, 1993). As células T CD4⁺αβ pertencem quase que exclusivamente ao subgrupo Th1 e reconhecem a diversidade de proteínas listeriais apresentadas pelos macrófagos modulando uma reação de hipersensibilidade do tipo tardio (KAUFMANN *et al.*, 1987; MIELKE *et al.*, 1988; BEATTIE *et al.*, 1991; DAUGELAT *et al.*, 1994). Estas células são produtoras de IL-2 e IFN-γ (DAUGELAT *et al.*, 1994).

O baço é um órgão hematopoiético secundário onde a bactéria *L. monocytogenes* também migra, sendo assim, é um órgão onde ocorrem as reações do sistema imunológico descritas acima. O efeito mielosuppressor observado após a infecção por *L. monocytogenes* está relacionado com a migração das células da medula óssea para os tecidos, com o objetivo de erradicar rapidamente a infecção (WING *et al.*, 1984; YOUNG AND CHEERS, 1986; QUADROS *et al.*, 1999). Corroborando esta afirmação, estudos na literatura demonstram que o número de precursores hematopoiéticos no baço apresenta-se aumentado durante a infecção (WING *et al.*, 1984). Hematopoiese no baço também foi descrita para vários outros processos infecciosos (ALI-KHAN *et al.*, 1978; MIYANOMAE *et al.*, 1982; ASAMI *et al.*, 1992; LAI *et al.*, 1996).

Assim, neste trabalho buscamos avaliar os efeitos do extrato hidroalcoólico da *Acanthospermum hispidum* (EHA *A.hispidum*) sobre o crescimento e diferenciação dos precursores hematopoiéticos para a série granulócito-macrófago (CFU-GM) da medula óssea e baço de camundongos no modelo experimental de infecção por *Listeria monocytogenes*.

II. Objetivos

O presente trabalho tem os seguintes objetivos:

- Avaliar os efeitos do extrato hidroalcoólico da *Acanthospermum hispidum* (EHA *A.hispidum*) sobre a resposta imunológica inata de animais infectados com a *Listeria monocytogenes* e animais não infectados, através da cultura clonal de precursores hematopoiéticos da medula óssea e no baço para granulócitos e macrófagos (CFU-GM).
- Avaliar os efeitos do EHA *A.hispidum* sobre a resistência dos camundongos Balb/c à uma dose letal da *Listeria monocytogenes*.

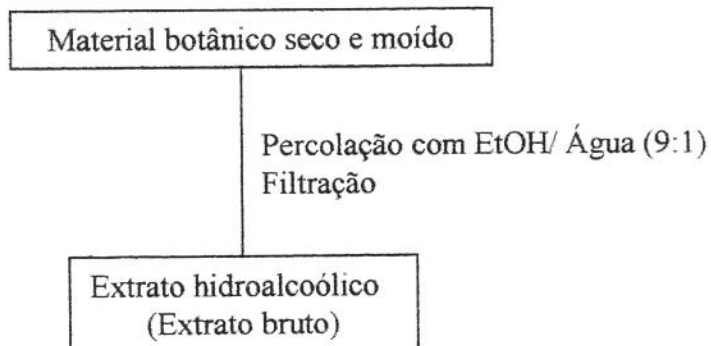
III. Materiais e Métodos

1. Animais

Foram utilizados camundongos machos, com idade entre 6 e 10 semanas da linhagem Balb/c, susceptíveis a infecção por *Listeria monocytogenes*. Estes animais foram criados e fornecidos pelo Biotério Central da UNICAMP.

2. Obtenção da *Acanthospermum hispidum*

A planta *Acanthospermum hispidum* teve suas partes aéreas e raízes trituradas após secas ao sol. O resultado da Trituração passou por processo de extração por percolação em solução de etanol: água (9:1). Em seguida, esta solução foi filtrada e concentrada sob pressão reduzida a 45°C em rotaevaporador, resultando o extrato bruto hidroalcoólico.



O EHA da *A.hispidum* foi diluído em solução de 10% de etanol 70° em água destilada a ± 40°C.

3. *Listeria monocytogenes*

A bactéria *Listeria monocytogenes* utilizada para infectar os animais é um cocobacilo gram-positivo, anaeróbico facultativo, móvel por flagelos peritriquios a temperatura ambiente e facilmente cultivável em ágar-sangue. Esta cepa foi gentilmente cedida pelo Laboratório de Microbiologia do Departamento de Patologia Clínica – Hospital de Clínicas desta Universidade. Após sua aquisição, a bactéria foi submetida a vários testes bioquímicos que confirmaram sua identidade. Os testes realizados demonstraram o seguinte:

- Oxidase – positivo
 - Catalase – positivo
 - Carboidratos- ação fermentativa
 - Xilose – negativo
 - Manitol- negativo
 - Bile esculina- positivo
 - Beta hemólise- positivo
 - CAMP- Test: *Staphylococcus aureus* – positivo
- Rhodococcus equi*- negativo

Para provocar infecção nos animais foi necessário determinar o número ideal de microrganismos a ser injetado. A dose ideal não deveria provocar a morte do animal muito rapidamente para que fosse possível a realização dos experimentos após a infecção. A bactéria foi mantida em meio de cultura BHI e incubada por 24-48 horas a 37° C. Os repiques foram feitos com alça de platina em placas de Petri contendo meio ágar- sangue, e novamente incubados a 37° C por 24-48 horas. As colônias obtidas nas culturas frescas de ágar – sangue foram diluídas

em salina e as concentrações determinadas por espectrofotometria através da Escala de McFarland (Colbas).

Para manutenção da patogenicidade da bactéria a mesma foi periodicamente repassada sucessivamente por 25 vezes em camundongos, como descrito a seguir. Os camundongos foram inoculados intraperitonealmente com a bactéria diluída em solução salina 0.9%. Quarenta e oito horas após a inoculação da bactéria os baços foram isolados em ambiente estéril, macerados e mantidos em BHI por 24 –48 horas e, logo após, a bactéria isolada em ágar - sangue. Após o seu isolamento, diluições da mesma foram realizadas até atingir a concentração apropriada para uso.

Para avaliação da sobrevida, 3×10^5 microrganismos/animal foram inoculados intraperitonealmente. Para o estudo dos parâmetros imunológicos e hematológicos a dose subletal de 1×10^5 bactérias/animal foi utilizada.

4. Tratamento

A administração do extrato hidroalcoólico da *Acanthospermum hispidum* foi realizada por via oral com auxílio de uma sonda, após sua dissolução em 10% de álcool 70° e água destilada ± 40°C. Os animais foram divididos em grupos que receberam 100, 500 ou 1000mg/kg/ dia num volume total de 0.2 mL de extrato por animal, por um período de 5 dias. Três horas após o término do tratamento os grupos infectados receberam a bactéria intraperitonealmente num volume de 0,2 mL por animal. Os parâmetros imunológicos foram avaliados nos períodos de 48 e 72 horas após a infecção.

5. Procedimentos experimentais

Para as avaliações imunológicas *in vivo* e *in vitro* utilizou-se a técnica de cultura clonal em meio semi-sólido dos precursores hematopoiéticos de medula óssea e do baço (CFU-GM).

5.1. Cultura clonal dos precursores hematopoiéticos da medula óssea e do baço de camundongos (CFU – GM)

Sacrificou-se o animal por deslocamento cervical e limpou-se a pele com álcool 70%. Expôs-se o fêmur e removeu-se a cartilagem sobre o orifício na extremidade distal cortando-se o osso na junção superior. Transferiu-se a medula óssea com auxílio de agulha e seringa (com 1ml de RPMI-1640 (Sigma Chemical Co, USA)) para um tubo contendo 4 ml de meio de cultura RPMI-1640. Removeu-se assepticamente o baço e transferiu-se para tubos de ensaio estéreis, contendo 5 ml de meio RPMI-1640. As células foram liberadas cuidadosamente, utilizando-se um macerador.

Contou-se número de células na suspensão medular em câmara hemacitométrica após diluição (1:10) em líquido de TURK. A suspensão de células do baço contou-se nesta mesma câmara após uma diluição (1:10) em salina e após em líquido de Trypan 0,2%.

Preparou-se o meio de cultura semi-sólida que consiste de 30% de meio DMEM (Sigma) 2x concentrado, 20% de soro bovino fetal inativado e 50% de ágar (0.3%) (Bacto-ágar-Difco). A seguir, adicionou-se ao meio o volume apropriado suspensão celular a 37⁰ C, correspondendo a 1x10⁵ e 2x10⁵ células/mL para avaliação da mielopoiese medular e periférica respectivamente. Ressuspendeu-se e distribuiu-se a cultura em volume de 2 mL em cada placa de Petri (35 mm), a qual já continha 0,1 mL do fator estimulador de colônias (SCM – item 5.1.2) apropriado.

Deixou-se gelificar e incubou-se por 7 dias, a 37⁰ C, em presença de 5% de CO₂. Após este período, contou-se o número de colônias formadas em microscópio de dissecção com aumento de 40x.

5.1.2. Preparação do Fator Estimulador do Crescimento de Colônias (CSF). Meio Condicionado de Células Espináceas (SCM)

- Baços de alguns camundongos Balb/c foram removidos sob condições assépticas e passados delicadamente através de peneira de aço inoxidável estéril.
- Preparou-se uma suspensão com 2×10^6 células/mL em meio RPMI- 1640 contendo 10% de soro bovino fetal inativado (30 min. a 56°C). Adicionou-se ao meio 5×10^{-5} M de 2-mercaptoetanol (concentração final) e 0,05 ml de “ pokeweed mitogen” por mL de meio. Incubou-se por 7 dias a 37°C em estufa úmida contendo 5% de CO₂ no ar. Centrifugou-se o sobrenadante e filtrou-se em filtros Milipore. A atividade funcional do CSF foi determinada pelo estímulo produzido sobre o crescimento clonal de células progenitoras hematopoiéticas em meio semi-sólido (item 5.1.1). A titulação deste lote de SCM demonstrou que uma diluição de até 1:4 forneceu resultados que estão dentro dos níveis de resposta supramáxima. Os resultados em triplicata da titulação realizada em cultura de 7 dias estão apresentados na tabela 2.

TABELA 2: Titulação do meio condicionado de células esplênicas (SCM) em presença de células da medula óssea de camundongos Balb/c*

DILUIÇÃO SCM	CFU-C **
1:1	101±2
1:2	90±3
1:4	88±2
1:8	63±1
1:16	48±4
1:32	29±3
1:64	6±4
1:168	0

*Número de células da medula óssea utilizado = 1×10^5 /mL

** Resultados expressos como média ± DP

5.2. Realização da curva de sobrevida

Para o estudo dos efeitos do tratamento com EHA *A.hispidum* sobre a sobrevida dos animais infectados pela *Listeria monocytogenes*, três grupos de camundongos ($n=20$ /grupo) foram tratados por cinco dias consecutivos com EHA *A.hispidum* nas doses de 100, 500 ou 1000mg/kg respectivamente, enquanto que um grupo controle recebeu apenas veículo na mesma razão dose:volume dos animais tratados ($n=20$). No quinto dia todos os animais foram infectados intraperitonealmente com uma dose letal da bactéria (3×10^5 bactérias/animal). Os animais foram observados por 30 dias após a inoculação da bactéria.

6. Metodologia Estatística

Os testes estatísticos foram realizados utilizando-se Análise de Variância (ANOVA) seguida de comparações múltiplas pelo teste Tukey-Kramer.

As curvas de sobrevida foram estimadas pelo método de Kaplan-Meier e a análise da probabilidade de sobrevida pelo teste de Log-Rank.

O nível de significância estatística adotado foi de 5% ($p<0,05$).

IV. Resultados

1. Efeitos do EHA *A.hispidum* sobre o crescimento e diferenciação dos precursores hematopoiéticos da medula óssea

Os efeitos da administração do EHA *A.hispidum* sobre o crescimento e diferenciação dos precursores hematopoiéticos na medula estão representados na Figura 1 Tabelas 1 e 2 (apêndice).

A inoculação de uma dose subletal de *Listeria monocytogenes* (1×10^5 /animal) levou a uma diminuição do número de colônias de precursores hematopoiéticos (CFU-GM) na medula óssea nas 48 e 72 horas após a infecção. Os camundongos normais tratados com as 3 diferentes doses de EHA *A.hispidum* tiveram uma diminuição acentuada do CFU-GM da medula em relação ao grupo controle. Os animais tratados/infectados com as três diferentes doses de EHA *A.hispidum*, nas 48 e 72 horas após a infecção, mantiveram uma diminuição no número do CFU-GM da medula óssea em relação ao controle, sendo que esta diminuição foi mais acentuada no período de 72 horas para as doses de 500 e 1000 mg/kg.

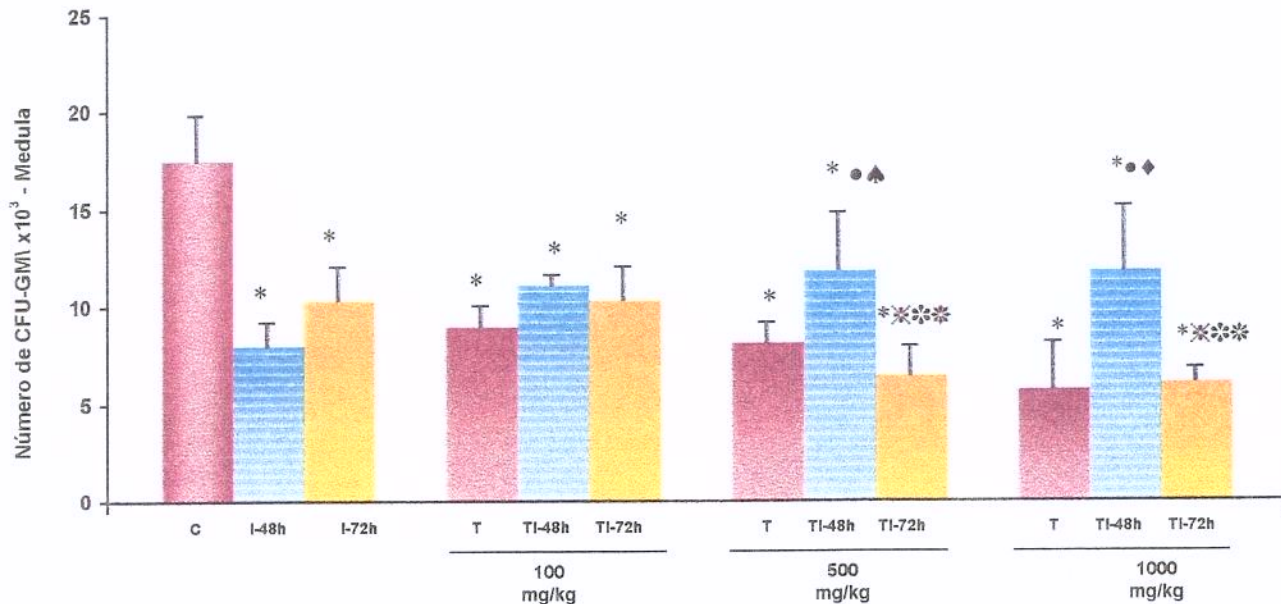


Figura 1. Número de CFU-GM da medula óssea de camundongos tratados por 5 dias consecutivos com 3 diferentes doses de EHA *A.hispidum* (100, 500 e 1000 mg/kg) e infectados com *Listeria monocytogenes* (1×10^5 bactérias/animal) 3 horas após o término do tratamento. Os animais foram sacrificados 48 e 72 horas após a infecção. ANOVA- Tukey-Kramer ($p < 0,05$). Os resultados representam a média e DP de 6 animais por grupo. C = controle; T = tratados com EHA *A.hispidum*; TI = tratados e infectados; I = somente infectados.

* = significativo em relação ao controle ; • = significativo em relação ao Infectado (I-48 h); **= significativo em relação ao Infectado (I-72 h); ▲ = significativo em relação ao T500; ♦= significativo em relação ao T1000; * = significativo em relação ao TI 100 (TI-72 h); * = significativo em relação ao respectivo TI-48h.

2. Efeitos do EHA *A.hispidum* sobre o crescimento e diferenciação dos precursores hematopoiéticos do baço

Os efeitos da administração do EHA *A.hispidum* sobre o crescimento e diferenciação dos precursores hematopoiéticos do baço estão representados na Figura 2 e tabelas 3 e 4 (apêndice).

Com relação à hematopoiese esplênica, a inoculação de uma dose subletal de *Listeria monocytogenes* (1×10^5 /animal) levou a um aumento no número de CFU-GM no baço nas 48 e 72 horas após a infecção. Os camundongos normais tratados com as 3 diferentes doses de EHA *A.hispidum* tiveram um aumento significativo do CFU-GM do baço em relação ao grupo controle. Os animais tratados/infectados (TI-48h) com as três diferentes doses de EHA *A.hispidum* mantiveram o número de CFU-GM do baço ao nível do grupo infectado (I-48h). Nas 72 horas, os animais tratados/infectados (TI-72h) com as doses de 100 e 500mg/kg de EHA *A.hispidum* apresentaram diminuição no número de CFU-GM em relação ao grupo infectado (I-72h), enquanto que, o tratado/infectado (I-72h) com 1000 mg/kg de EHA *A.hispidum* apresentou aumento em relação a todos os demais grupos.

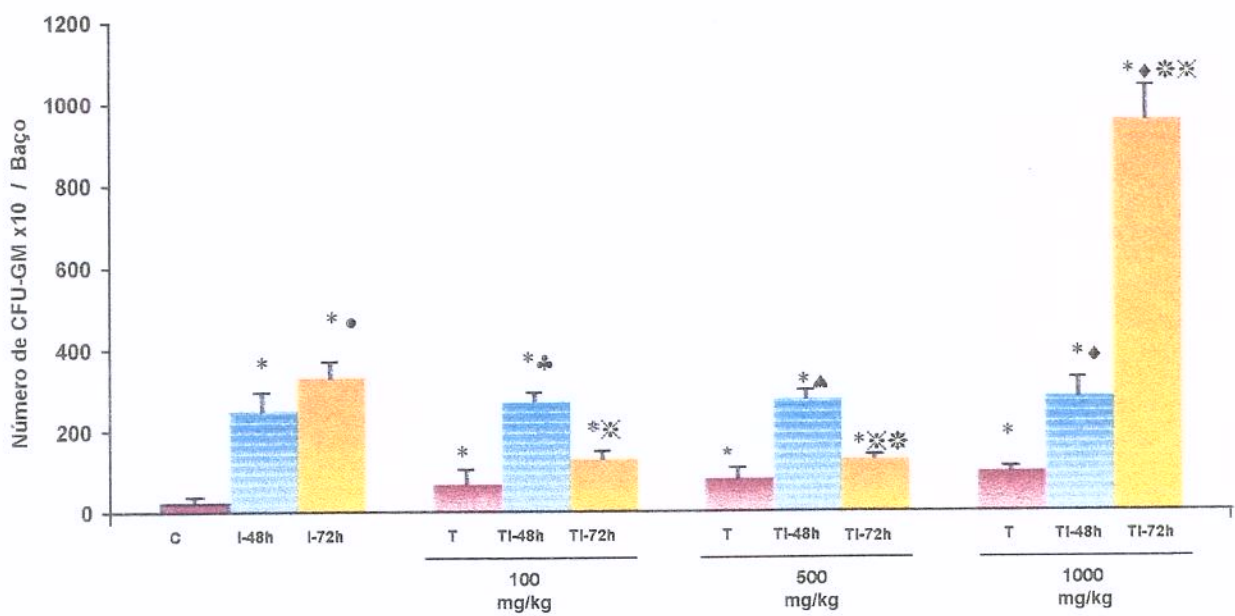


Figura 2. Número de CFU-GM do baço de camundongos tratados por 5 dias consecutivos com 3 diferentes doses de EHA *A.hispidum* (100, 500 e 1000 mg/kg) e infectados com *Listeria monocytogenes* (1×10^5 bactérias/animal) 3 horas após o término do tratamento. Os animais foram sacrificados 48 e 72 horas após a infecção. ANOVA- Tukey-Kramer ($p < 0,05$). Os resultados representam a média e DP de 6 animais por grupo. C = controle; T = tratados com EHA *A.hispidum*; TI = tratados e infectados; I = somente infectados.

* = significativo em relação ao controle; ** = significativo em relação ao Infectado (I-48h); ***= significativo em relação ao Infectado (I-72 h); * = significativo em relação ao T100; ▲ = significativo em relação ao T500; ♦ = significativo em relação ao T1000; * = significativo em relação ao respectivo TI (I-48h).

3. Efeitos do EHA *A.hispidum* sobre o peso do baço

Os efeitos da administração do EHA *A.hispidum* sobre o peso do baço estão representados na Figura 3 e tabelas 5 e 6 (apêndice).

O peso do baço dos animais tratados com as doses de 500 e 1000mg/kg de EHA *A.hispidum* aumentou em relação ao grupo controle. Um aumento no peso dos baços também foi observado nos animais somente infectados nos 2 períodos de observação em relação ao controle. Além disso, o aumento observado nas 48 horas após a infecção foi estatisticamente superior ao nas 72 horas.

Uma redução no peso dos baços aos níveis normais foi observada nos animais infectados e tratados com 100, 500 e 1000mg/kg de EHA *A.hispidum* nas 48 horas após a infecção. Porém, nos animais tratados/infectados com as 3 doses de EHA *A.hispidum* nas 72 horas após a infecção, o peso dos baços aumentou, atingindo um valor similar ao obtido para o grupo somente infectado (I-72h).

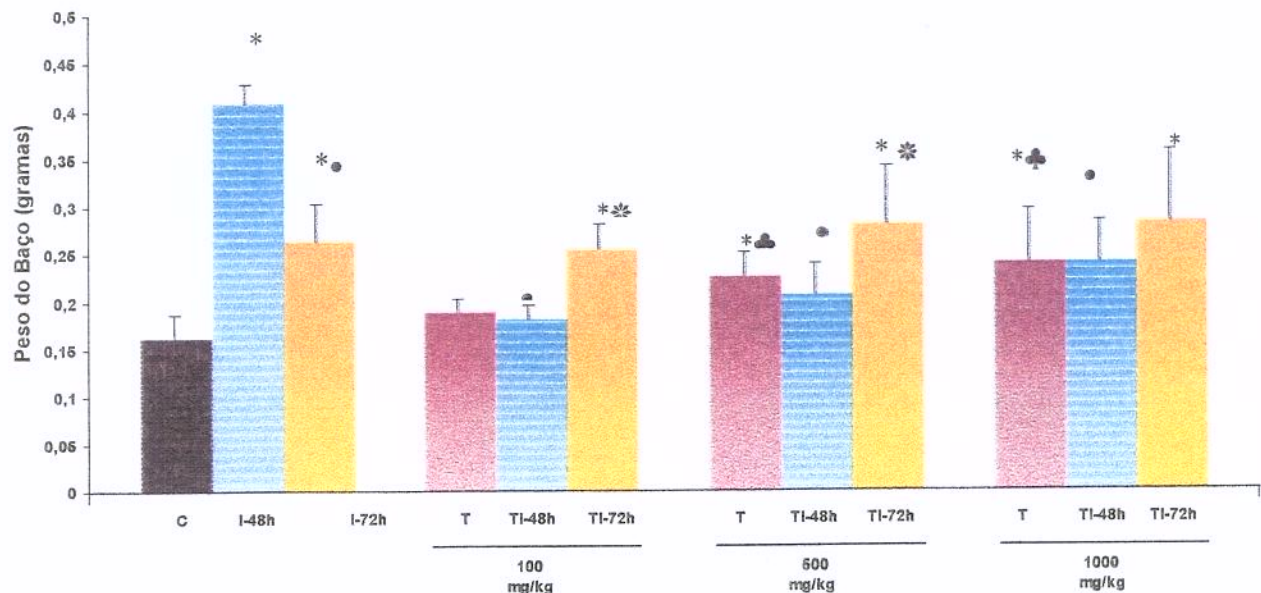


Figura 3. Peso do baço (g) de camundongos tratados por 5 dias consecutivos com 3 diferentes doses de EHA de *A.hispidum* (100, 500 e 1000 mg/kg) e infectados com *Listeria monocytogenes* (1×10^5 bactérias/animal) 3 horas após o término do tratamento. Os animais foram sacrificados 48 e 72 horas após a infecção. ANOVA- Duncan e Tukey-Kramer ($p < 0,05$). Os resultados representam a média e DP de 6 animais por grupo.

C = controle; T = tratados com E AH; TI = tratados e infectados; I = somente infectados.

* = significativo em relação ao controle. • = significativo em relação ao I-48 h. ♣ = significativo em relação ao T100; ** = significativo em relação ao respectivo TI 48h.

4. Efeitos do tratamento com EHA *A.hispidum* na sobrevida de animais infectados pela *Listeria monocytogenes*

Com intuito de avaliar uma possível proteção em relação à infecção nos animais tratados com EHA *A.hispidum* realizou-se uma curva de sobrevida. Considerou-se os seguintes grupos experimentais: animais normais infectados com *Listeria monocytogenes* 3×10^5 / animal e, grupos de animais tratados por 5 dias consecutivos com as 3 diferentes doses do EHA *A.hispidum* e infectados logo após, com a mesma concentração de bactérias. Os grupos foram observados durante 30 dias.

Na Figura 4 e tabela 7, podemos observar os resultados da sobrevida dos animais. Os animais controle possuem mortalidade de 100% com mortes gradativas entre o 2º e 6º dias após a infecção.

Os camundongos tratados previamente com EHA *A.hispidum* apresentaram alterações na resistência contra a *L. monocytogenes*. O grupo tratado com 100mg/kg apresentou uma sobrevida de 30%. Entretanto, os grupos previamente tratados com 500 e 1000 mg/kg apresentaram 60% de sobrevida. É interessante ressaltar que 4 dos 8 animais tratados com a dose de 500mg/kg e infectados que morreram, resistiram até o 17º dia após a infecção, e no grupo tratado com 1000 mg/kg , as mortes iniciaram quando a maioria dos animais controle (80%) somente infectados já haviam morrido, indicando um aumento na resistência dos animais tratados que responderam fatalmente à infecção.

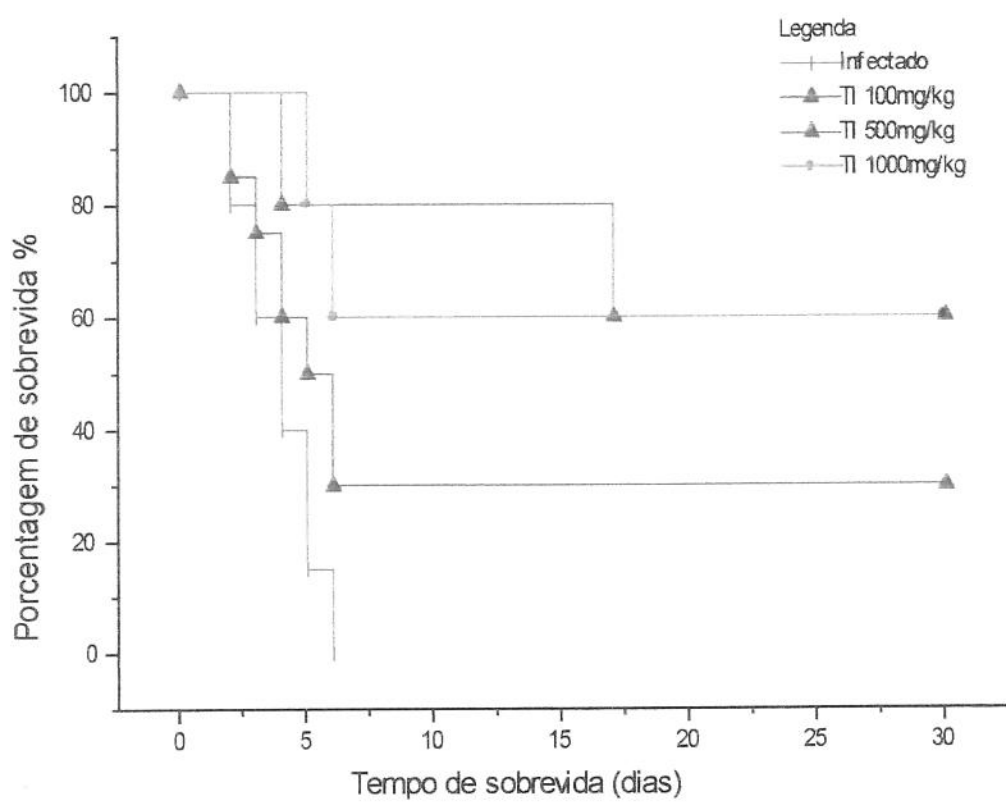


Figura 4: Curva de sobrevida de camundongos Balb/c (n=20) tratados com 3 diferentes doses de EHA *A.hispidum* durante 5 dias e infectados com uma dose letal de *Listeria monocytogenes* (3×10^5 bactérias/animal), 3 horas após o término do tratamento. Método Kaplan-Meyer, teste Log-rank ($p < 0,001$).

V. Discussão

A *Acanthospermum hispidum* é uma planta que apresenta no uso popular efeitos benéficos contra infecções, embora efeitos tóxicos tenham sido observados quando administrada em altas doses em estudos experimentais. Nos nossos estudos, camundongos Balb/c foram previamente tratados durante 5 dias consecutivos com as doses de 100, 500 e 1000mg/kg de extrato hidroalcoólico de *A.hispidum* (EHA *A.hispidum*) e infectados com *L. monocytogenes*, sendo que às 48 e 72 horas após a infecção avaliamos o número de precursores hematopoiéticos na medula óssea e no baço dos animais. A infecção produz uma diminuição no número de precursores hematopoiéticos para granulócitos-macrófagos (CFU-GM) na medula óssea e um aumento no número desses precursores no baço. Tanto nos animais apenas tratados com o extrato da planta como nos animais tratados/infectados, os resultados demonstraram uma diminuição de 30 a 50% no número de CFU-GM da medula óssea, paralelamente a um aumento de até 45 vezes no número desses precursores no baço em relação ao controle. Concomitante a esses dados, observou-se esplenomegalia nos animais tratados e nos tratados/infectados após 72 horas. Ao realizarmos uma curva de sobrevida utilizando-se uma dose letal de *L. monocytogenes* em animais tratados com as 3 diferentes doses do extrato hidroalcoólico desta planta, constatamos um aumento significativo no índice de sobrevida, que foi dependente da dose utilizada.

Trabalhos realizados em nosso laboratório demonstram que o aumento na sobrevida em camundongos infectados com uma dose letal de *L. monocytogenes* está relacionado ao aumento no número de CFU-GM medular (QUADROS *et al.*, 1999; DANTAS & QUEIROZ, 1999). Entretanto, paralelo ao aumento no índice de sobrevida, nossos animais mantiveram o aumento no número de CFU-GM no baço e a diminuição no número destes na medula, causados pela listeriose. O aumento da resistência de nossos animais deve-se, provavelmente, à hematopoiese esplênica. Está documentado na literatura que a diminuição na hematopoiese da medula é

geralmente acompanhada de hematopoiese extramedular compensatória nesse órgão. Este efeito ocorre devido à migração dos precursores hematopoiéticos da medula pela via sanguínea, produzindo, como consequência, um acúmulo destas células no baço, com aparente esplenomegalia (NILSSON *et al.*, 1994; HAAN *et al.*, 1995; JACKSON *et al.*, 1995; QUESNIAUX *et al.*, 1996; MURRAY *et al.*, 1998; DEGUCHI *et al.*, 1999).

O aumento no número de CFU-GM no baço, principal foco da listeriose (NORTH & CONLAN, 1998), concomitante ao aumento da sobrevida, sugere que a hematopoiese extramedular pode favorecer a reação do hospedeiro. Em nosso trabalho, os animais apresentaram aumento no número de CFU-GM extramedular também nos grupos apenas tratados, levando-nos a sugerir que este resultado, poderia favorecer a rapidez e eficácia de ação dos granulócitos e macrófagos na defesa do hospedeiro contra a instalação da infecção. Corrobora nossa hipótese o fato de que camundongos resistentes à listeriose apresentam um maior número de células formadoras de colônias (CFCs) no baço em relação aos animais suscetíveis (YOUNG & CHEERS, 1986; CHEERS *et al.*, 1988; CHEERS & STANLEY, 1988).

Observamos na literatura que a resistência à listeriose também está relacionada com a melhor atividade das células de defesa, como por exemplo, maior mobilização e atividade listericida dos macrófagos, além das células CFCs tornarem-se mais sensíveis aos fatores estimuladores de colônias em animais resistentes (CSFs) (STEVENSON *et al.*, 1981; GERVAIS *et al.*, 1986). Assim, sugerimos que concomitante à mobilização dos precursores para o baço, houve maior eficácia de ação dos granulócitos e macrófagos na defesa do hospedeiro provavelmente devido a um aumento na produção de citocinas envolvidas no mecanismo de defesa contra a listeriose.

Durante esse processo infeccioso, está envolvido na resposta inata o recrutamento de neutrófilos que limitam, através de fagocitose e lise, a bactéria ao local da infecção. O G-CSF é um fator relacionado à diferenciação dos neutrófilos e é produzido durante o curso natural da infecção com *L. monocytogenes* (CHEERS *et al.*, 1988), conferindo maior resistência aos animais contra a listeriose devido ao aumento dos fagócitos no local da infecção e do metabolismo oxidativo destas células (SHINOMIYA *et al.*, 1991; SERUSHAGO *et al.*, 1992; KAYASHIMA *et al.*, 1993). Estudos demonstram que a administração de G-CSF aos camundongos conduz a um aumento no número de CFU-GM, peso e celularidade do baço e a uma diminuição destes precursores na medula (PODJA *et al.*, 1990; MOLINEAUX *et al.*, 1990; HAAN *et al.*, 1995).

Durante a resposta inata também ocorre a ativação dos macrófagos. Estas células, estimuladas pela *L. monocytogenes* fagocitada, liberam TNF- α e IL-12 que juntos ativam as células NK a produzirem IFN- γ (KOBAYASHI *et al.*, 1989; STERN *et al.*, 1990; ROGERS *et al.*, 1995). Este por sua vez, juntamente com a IL-1, ativa os macrófagos que expressarão o complexo principal de histocompatibilidade (MHC) classe II, aumentando assim, a atividade listericida destas células (MACKANESS, 1962; ROGERS *et al.*, 1995; FLESCH *et al.*, 1995). O macrófago ativado irá secretar mais IL-12, que estimulará a diferenciação das células Th0 em Th1, as quais também produzirão IFN- γ . Concordando com os resultados apresentados neste estudo, consta na literatura que camundongos tratados com IL-12 tiveram uma supressão da hematopoiese medular e, simultaneamente, desenvolveram esplenomegalia causada pela hematopoiese extramedular no baço (TARE *et al.*, 1995; JACKSON *et al.*, 1995). Acredita-se que a IL-12 conduza a mobilização das células progenitoras medulares para a circulação periférica, alojando-as no baço e em outros órgãos como o figado e o pulmão (JACKSON *et al.*, 1995). Alguns autores sugerem que os efeitos da IL-12 *in vivo* são induzidos por IFN- γ (ENG *et al.*, 1995;

QUESNIAUX & RYFFEL, 1996). Dessa forma, esses dados corroboram nossa hipótese de que a hematopoiese extramedular esteja relacionada com a maior produção de algumas das principais citocinas envolvidas na defesa contra a listeriose.

A propriedade de aumentar a produção de IFN- γ já foi encontrada em uma planta da mesma família da *Acanthospermum hispidum*, a *Dichrocephala bicolor* (Asteraceae) (LIN *et al.*, 1999). Além disso, camundongos da linhagem C57BL/6, resistente à *Listeria*, apresentaram maior expressão de IFN- γ nas células do baço quando comparados a camundongos susceptíveis (IIZAWA *et al.*, 1993). Esses fatos reforçam nossa hipótese de que a proteção apresentada pelo EHA da *A.hispidum* pode estar relacionada também ao aumento de IFN- γ .

O IFN- γ é produzido também pelas células Th1, as quais são essenciais para a erradicação completa da *L.monocytogenes* do hospedeiro (ROGERS *et al.*, 1995). A resposta tardia caracterizada pelo envolvimento das células T, inicia-se no 6º dia após a infecção (MITSUYAMA *et al.*, 1978; MIYATA *et al.*, 1984, KRATZ & KURLANDER, 1988), período em que nossos animais controle já haviam morrido. Assim, a sobrevida a partir deste período sugere que mecanismos do sistema imune adaptativo (células Th1) se estabeleceram nos animais tratados com EHA *A.hispidum*.

Podemos concluir que o EHA *A.hispidum* é capaz de induzir a mobilização de células hematopoiéticas da medula para o baço. Além disso, o EAH *A.hispidum* poderia estimular e ativar mecanismos da resposta imune inata (neutrófilos/macrófagos/células NK) e adquirida (Th1) no baço durante a infecção, devido à estimulação da produção de alguma das principais citocinas envolvidas na resistência dos animais à listeriose.

VI. Conclusões

- O EHA *A.hispidum* induz a mobilização dos precursores hematopoiéticos da medula óssea para o baço levando a uma defesa imunológica mais rápida após a infecção.
- O EHA *A.hispidum* poderia estimular e ativar mecanismos da resposta imune inata (neutrófilos/macrófagos/células NK) e adquirida (Th1) no baço durante a infecção, devido à estimulação da produção de algumas das principais citocinas envolvidas na resistência dos animais à listeriose.

VII. Referência Bibliográfica

1. ALI B. & ADAM, S. E. - "Effects of Acanthospermum hispidum on goats." **J. Comp. Pathol.** **88**: 533-544, 1978a.
2. ALI B. & ADAM, S. E. - "Toxicity of Acanthospermum hispidum to mice". **J. Comp. Pathol.** **88**: 433-448, 1978b.
3. ALI-KHAN, Z. - "Cellular changes in the lymphoreticular tissues of C57L/J mice infected with *Echinococcus multiloculares cystis*." **Immunology**, **34**: 831, 1978.
4. ASAMI, M., OWHASHI, M; ABE, T. & NAWA, Y. - "A comparative study of the Kinetic changes of hemopoietic stem cells in mice infected with lethal and non lethal malaria." **International Journal of Parasitology**, **22**: 43, 1992.
5. BAGGLIOLINI, M; WALZ, A. & KINKEL, S.L. - "Neutrophil-activating peptide-1/interleukin 8, a novel cytokine that activates neutrophils." **Journal of Clinical Investigation**, **84**: 1045-1049, 1989.
6. BANCROFT, G.J.; SHEEHAN, K.C.F.; SCHREIBER, R.D. & UNANUE, E.R.- "Tumor necrosis factor is involved in the T cell independent pathway of macrophage activation in scid mice." **Journal of Immunology**, **143**: 127-130, 1989.
7. BARATA, L. - "Plantas medicinais da Amazônia". Boletim apresentado à Fundação Brasileira de Plantas Medicinais, 9: 1991.
8. BARNERS, P.F; GRISSO, C.L; ABRAMS, J.S; BAND, H; REA, T.H; MODLIN, R. L. - " γ/δ T lymphocytes in human tuberculosis." **Journal of Infectious Diseases** **165**: 506-512, 1992.
9. BEATTI, I.A.; SWAMINATHAN, B.& ZIEGLER, H.K. - "Cloning and characterization of T cell-reactive protein antigens from *Listeria monocytogenes*." **Infection and Immunity**, **58**: 2792-2803, 1991.
10. BENNETT, M. & BAKER, E.E. "Marrow-dependent cell function in early stages of infection with *Listeria monocytogenes*." **Cellular Immunology**, **33**: 203-210, 1977.

11. CAETANO, N.P; MAIA,B; AFIATPOUR, P; ARAÚJO, E; REGO, L.M; SOUZA, M.A; WANDERLEY, M. & SILVA, N. H. - “ **Resumo de XI Simpósio de Plantas Medicinais do Brasil**, João Pessoa, p. 322., 1990.
12. CAMARGO, M.T.L.A. - “Medicina Popular. Aspectos Metodológicos Para Pesquisa.” Editora Almed, São Paulo, p. 130, 1985.
13. CHEERS, C.; HAIGH, A.M.; KELSO, A; METCALF, D.; STANLEY, E.R. & YOUNG, A.M. - “ Production of colony-stimulating factors (CSFs) during infection: separated determinations of macrophages-; granulocyte-; granulocyte-macrophage- and multi-CSFs.” **Infection and Immunity**, **56**: 247-251, 1988.
14. CHEERS, C.; STANLEY, E.R - “ Macrophage production during murine listeriosis: colony-stimulating factor 1 (CSF-1) binding cells in genetically resistant and susceptible mice.” **Infection and Immunity**, **56**: 2972-2978, 1988.
15. CONLAN, J.W; NORTH, R.J - “ Neutrophil-mediated dissolution of infected host cells as a defense strategy against a facultative intracellular bacterium.” **Journal of Experimental Medicine**, **174**: 741-744, 1991.
16. DANTAS, D. C. M; QUEIROZ, M.L.S. - “ Effects of *Clorella vulgaris* on bone marrow progenitor cells of mice infected with *Listeria monocytogenes*.” **International Journal of Immunopharmacology**, **21**: 499-508, 1999.
17. DAUGELAT, S.; LADEL, C.H.; SCHOEL, B.& KAUFMANN, S.H.E. - “Antigen-specific T cell responses during primary and secundary *Listeria monocytogenes* infection.” **Infection and Immunity**, **62**: 1881-1888, 1994.
18. DEGUCHI, K.; YAGI, H.; INADA, M.; YOSHIZAKI, K.; KISHIMOTO, T.; KOMORI, T.; “ Excessive extramedullary hematopoiesis in Cbf α 1-deficient mice with a congenital lack of bone marrow.” **Biochem. Biophys. Res. Commun.**, **255**(2): 352-359, 1999.
19. DI STASI, L. C., SANTOS, E.M.G. and HIRUMA, C. A. - “ Plantas Medicinais Na Amazônia.” Editora Unesp, São Paulo, 194: 51-52, 1989.

20. ENG, V.M; CAR, B.D; SCHNYDER, B; LORENZ, M; LUGLI, S; AGUET, M; ANDERSON, T.D; RYFFEL, B; QUESNIAUX, V.F. - "The stimulatory effects of interleukin (IL)-12 on hematopoiesis are antagonized by IL-12-induced interferon gamma in vivo." **Journal of Experimental Medicine**, **181**(5): 1893-1898, 1995.
21. FLESCH, I.E.A; HESS, J.H; HUANG, S; AGUET, M; ROTHE, J; BLUETHMANN, H; KAUFFMANN, S.H.E. - "Early interleukin-12 production by macrophages in response to mycobacterial infections depends on interferon- γ and tumor necrosis factor α ." **Journal of Experimental Medicine**, **181**: 1615-1622, 1995.
22. GERVAIS, A.; MORRIS-HOOKE, A.; TRAN, T.A. & SKAMENE, E.-Analysis of macrophage bacterial function in genetically resistant and susceptible mice using the temperature-sensitive mutant of *Listeria monocytogenes*." **Infection and Immunity**, **54**: 315-321, 1986.
23. GREGORY, S.H.; WING, E.J; TWEARDY, D.J.; SHADDUCK, R.K. & LIN, H.S. - "Primary listerial infections are exacerbated in mice administered neutralizing antibody to macrophage colony-stimulating factor." **Journal of Immunology**, **149**: 188-193, 1992.
24. HAAN, G.; DONTJE, B; ENGEL, C; LOEFFLER, M; NIJHOF, W. - "The kinetics of murine hematopoietic stem cells in vivo in response to prolonged increased mature blood cell production induced by granulocyte colony-stimulating factor". **Blood**, **86**(8): 2986-2992, 1995.
25. HAHN, H. & KAUFMANN, S.H.E. - "The role of cell-mediated immunity in bacterial infections." **Reviews of Infection Disease**, **3**: 1221-1250, 1981.
26. IIZAWA, Y; WAGNER, R. D; CZUPRYNSKI, C.J. - "Analisis of cytokine m RNA expression in *Listeria*-resistant C57BL/6 and *Listeria*-susceptible A/J mice during *Listeria monocytogenes* infection." **Infection and Immunity**, **61** (9): 3739-3744, 1993.
27. JACKSON, J. D; YAN, Y; BRUNDA, M. J; KELSEY, L. S; TALMADGE, J. E; "Interleukin-12 enhances peripheral hematopoiesis in vivo." **Blood**, **85**(9): 2371-2376, 1995.

28. JAKUPOVIC, J; BARVAH, R.N; BOLHMANN, F; & MSONTHI, J.P. - "Further acanthospermolides from *Acanthospermum hispidum*." **Planta Médica**, **2**: 154-155, 1986.
29. KAUFMANN, S.H.E; HUG,E; VÄTH, U. & DE LIBERO, G. - " Specific lysis of *Listeria monocytogenes* – infected macrophages by class II- restricted L3T4+ T cells." **European Journal of Immunology**, **17**: 237-246, 1987.
30. KAYASHIMA, S; TSURU, S; HATA, N & ROKUTANDA, M. – " Therapeutic effect of granulocyte colony-stimulating factor (G-CSF) on the protection against *Listeria* infection in SCID mice." **Immunology**, **80**: 471-476, 1993.
31. KISSMAN, K. G.; "Invasoras na cultura de Soja", vol, 1978 – Basf – SP.
32. KOBAYASHI, M; FITZ, L; RYAN, M; HEWICK, R.M; CLARK, S.C; CHAN, S; LOUDON, R; SHERMAN, F; PERUSSIA, B & TRINCHIERI, G. " Identification and purification of natural killer cell stimulatory factor (NKSF), a cytokine with multiple biologic effects on human lymphocytes." **J. Exp. Med**, **170**: 827-845, 1989.
33. KOPF, M.; BAUMANN, H; FREER, G; FREUDENBERG, M; LAMERS, M; KISHIMOTO, T; ZINKERNAGEL, R; BLUETHMANN, H; KÖHLER, G. - "Impaired immune and acute-phase responses in interleukin-6 deficient mice." **Nature**, **368**: 339-342, 1994.
34. KRATZ, S.S. & KURLANDER, R. - " Characterization of the pattern of inflammatory cell influx and cytokine production during the murine host response to *Listeria monocytogenes*." **Journal of Immunology**, **141**: 598, 1988.
35. LAI, Y.H; HESLAN, J. M; POPPEMA, S; ELLIOT, J.F & MOSMANN, T.R. - "Continuous administration of IL-13 to mice induces extramedullary hemopoiesis and monocytosis" **The Journal of Immunology**, **156**: 3166-3173, 1996.
36. LEITÃO FILHO, H.F; ARANHA, C. & BACCHI, O. - "Plantas invasoras de culturas do Estado de São Paulo", vol. II, 1972, Hucitec. SP.

37. LEMÔNICA, I.P.; & ALVARENGA, C.M.D. - "Abortive and teratogenic effect of *Acanthospermum hispidum* DC. and *Cajanus cajan* (L.) Millps. in pregnant rats." **Journal of Ethnopharmacology** **43**: 34 – 44, 1994.
38. LEPAY, D.A.; STEINMAN, R.M.; NATHAN, C.F.; MURRAY, H.W. & COHN, Z.A.- "Liver macrophages in murine listeriosis: cell mediated immunity is correlated with an influx of macrophages capable of generating reactive oxygen intermediates." **Journal of Experimental Medicine**, **161**: 1503-1512, 1985.
39. LIN, L.C; KUO, Y.C; CHOU, C.J. - "Immunomodulatory principles of *Dichrocephala bicolor*." **J. Nat. Prod.**, **62**: 405-408, 1999.
40. MACKANESS, G.B.- "Cellular resistance to infection." **Journal of Experimental Medicine**, **116**: 381-406, 1962.
41. MACKANESS, G.B. & BLANDEN, R.V. - "Cellular immunity". **Progress in Allergy**, **11**: 89, 1967.
42. MACKANESS, G.B. & HILL, W.C.- The effect anti-lymphocyte globulin on cell-mediated resistance to infection". **Journal of Experimental Medicine**, **129**: 993-1012, 1969.
43. MEDEIROS, I.A.; BRANDÃO, V.J., ROLIM, D.A.L.; AGRA, M.F.; CORTES, S.F.; PAULO, M.Q. & BRITO, A.R.M.S. - "Isolamento dos princípios farmacologicamente ativos sobre o sistema cardiovascular de *Acanthospermum hispidum* (Asteraceae)". São Paulo. **Resumo do X Simpósio de Plantas Medicinais do Brasil**, p.7. 1988.
44. MESSIAS, A.S.; NORONHA, C.F.A. - " Avaliação do efeito do composto urbano sobre plantas medicinais cultivadas na estação experimental de Itapirema" – IPA. **Resumo do Simpósio de Plantas Medicinais do Brasil (061)**, Fortaleza, 1994.
45. METCALF,D.- The hematopoietic colony stimulating factors. New York, Oxford, 1984.

46. MIELKE, M.E.A; EHLERS, S. & HAHN, H. - "T-cell subsets in delayed-type hypersensitivity, protection and granuloma formation in primary and secondary *Listeria monocytogenes* infection in mice: superior role of Lyt-2 T cells in acquired immunity." **Infection and Immunity**, **56**: 1920-1925, 1988.
47. MIYANOMAE, T; OKABE, T; MORI, K. J & SETO, A. - "Effects of salmonella infection on hemopoietic stem cells in mice immunized with *Salmonella* vaccines." **Biomed, Pharmacother.** **36**: 286, 1982.
48. MITSUYAMA, M; TAKEYA, K; NOMOTO, K; & SHIMOTORI, S. - " Three phases of phagocyte contribution to resistance against *Listeria monocytogenes*." **J. Gen. Microbiol**, **106**: 165, 1978.
49. MIYAMATA, M; MITSUYAMA, M; OGATA, N. & NOMOTO, K. - " Protective mechanisms against infection by *Listeria monocytogenes* accumulation and activation of macrophages." **J. Clin. Lab. Immunol**, **13**: 111, 1984.
50. MOLINEAUX, G; PODJA, Z; DEXTER, T.M.; - " A comparision of hematopoiesis in normal and splectomized mice treated with granulocyte colony stimulating factor." **Blood**, **75 (3)**: 563-569, 1990.
51. MOMBAERTS, P.; AMOLDI, J.; RUSS, F.; TONEGAWA, S. & KAUFMANN, S.H.E. - "Different roles of $\alpha\beta$ and $\gamma\delta$ T cells in immunity against an intracellular bacterium." **Nature**, **365**: 53-56, 1993.
52. MURRAY, P.J.; YOUNG, R. A.; DALEY, G. Q. - "Hematopoietic remodeling in interferon-gamma-deficient mice infected with mycobacteria." **Blood**, **91(8)**: 2914-2924, 1998.
53. NILSSON, S. K.; BERTONCELLO, I. - "Age-related changes in extramedullary hematopoiesis in the spleen of normal and perturbed osteopetrosic (op/op) mice." **Experimental Hematology** **22(4)**: 377-383, 1994.

54. NORTH, A., NUMATA, A. & MINAGAWA, T. – “Endogenous tumor necrosis factor, interleukin-6, and gama-interferon levels during *Listeria monocytogenes* infection in mice.” **Journal of Experimental Medicine**, **132**: 521-534, 1970.
55. NORTH, R.J., CONLAN, J.W. - “ Immunity to *Listeria monocytogenes*.” Immunology of Intracellular Parasitism. **Chem. Immunol.** Basel, Karger, vol.70:1-20, 1998.
56. NORTH, R.J., SPITALNY, G. “ Inflammatory lymphocytes in cell-mediated antibacterial immunity: Factors governing the accumulation of mediator T cells in peritoneal exudates”. **Infection and Immunity** **10**: 489-498,, 1974.
57. PFEFFER, K.; MATSUYAMA, T.M.; WAKEHAM, ^a; KISHIHARA, K.; SHAHININ, A.; WEGMANN, K.; OHASHI, P.S.; KRONKE, M. & MARK, T.W. - “ Mice infected deficient for the 55 kD tumor necrosis factor receptor are resistant to endotoxic shock, yet succumb to *L. monocytogenes* infection. **Cell**, **73**: 457-467, 1993.
58. PODJA, Z; MOLINEAUX, G; & DEXTER, M.- “ Hemopoietic effects of short-term in vivo treatment of mice with various doses of rhG-CSF.” **Experimental Hematology**, **18**: 27-31, 1990.
59. QUADROS, R.M; SOUZA BRITO, A. R. M; QUEIROZ, M. L.S. “ *Petiveria alliacea* L. extract protects mice against *Listeria monocytogenes* infection – effects on bone marrow progenitor cells.” **Immunopharmacology & Immunotoxicology**,**21**(1): 109-124, 1999.
60. QUEIROZ, M.L.S. - “Células pluripotenciais hematopoiéticas em cultura.” Revisão bibliográfica. **Ciência e Cultura**, **40**: 421-426, 1988.
61. QUESNIAUX, V. F.; RYFFEL, B.; “ Interleukin-12 induced interferon-gamma inhibits hematopoiesis in vivo in mice.” **Ann. N. Y. Acad. Sci.**, **795**: 189-195, 1996.
62. ROGERS, H.W.; SHEEHAN, K.C.F.; BRUNT, L.M.; DOWER, S.K.; UNANUE, E.R. & SCHREIBER, R.D. – “Interleukin-1 participates in the development of anti – *Listeria* responses in both normal and scid mice.” **Proceedings of the National Academy of Sciences of the United States of America**, **89**: 1011-1015, 1992.

63. ROGERS, H.W.; TRIPP, C.S.; SCHREIBER, R.D. & UNANUE, E.R. - "Endogenous IL-1 is required for neutrophil recruitment and macrophage activation during murine listeriosis." **Journal of Immunology**, **153**: 2093-2101, 1994.
64. ROGERS, H.W.; TRIPP, C.S. & UNANUE, E.R. - "Different stages in the natural and acquire resistance to an intracellular pathogen." **The Immunologist**, **3/4**, 152-156, 1995.
65. ROSEN, H.; GORDON, S. & NORTH, R.J. - "Exacerbation of murine listeriosis by a monoclonal antibody specific for type 3 complement receptor of myelomonocytic cells. Absence of monocytes at infective foci allows *Listeria* to multiply in non phagocytic cells." **Journal of Experimental Medicine**, **170**: 27-37, 1989.
66. SERUSHAGO, B.A.; YOSHIKAI, Y.; HANDA, T.; MITSUYAMA, M.; MURAMORI, K.; NOMOTO, K. - "Effect of recombinant human granulocyte colony-stimulating factor (rhG-CSF) on murine resistance against *Listeria monocytogenes*." **Immunology**, **75**: 475-480, 1992.
67. SHINOMIYA, N; TSURU, S; KATSURA, Y; KAYASHIMA, S; NOMOTO, K. - "Enhanced resistance against *Listeria monocytogenes* achieved by pretreatment with granulocyte colony stimulating factor." **Infection and Immunity**, **59**: 4740-4743, 1991.
68. SOUZA BRITO, A.R.M. & SOUZA BRITO, A.A. - "Fourty years of Brazilian medicinal plant research." **Journal of Ethnopharmacology**, **714**: 136-142, 1993.
69. STERN, A.S; PODLASKI, F.J; HULMES, J.D; PAN, Y.C.E; QUINN, P.M; WOLITZKY, A.G; FAMILLETI, P.C; STREMLO, D.L; TRUITT, T; CHIZZONITE, R; & GATELY, M.K. - "Purification to homogeneity and partial characterization of cytotoxic lymphocyte maturation factor from human B-lymphoblatoid cells." **Proceedings of the National Academy of Sciences of the United States of America**, **87**: 6808-6812, 1990.
70. STEVENSON, M.M.; KONGSHAVN, P.A.L. & SKAMENE, E. "Genetic linkage of resistance to *Listeria monocytogenes* with macrophage inflammatory response." **Journal of Immunology**, **127**: 402-407, 1981.

71. SUMMERFIELD, A.; SAALMÜLLER, A. - "Interleukin-2 dependent selective activation of porcine $\gamma\delta$ T lymphocytes by an extract from the leaves of *Acanthospermum hispidum*." **Int. J. Immunopharmacology**, **20**: 85-98, 1998.
72. TARE, N.S; BOWEN, S; WARRIER, R.R; CARVAJA, D.M; BENJAMIN, W.R; RILEY, J.H; ANDERSON, T.D; GATELY, M.K. - " Administration of recombinat interleukin-12 to mice suppresses hemaopoiesis in the bone marrow but enhances hematopoiesis in the spleen." **J. Interferon Cytokine Res., 15(4)**: 377-383, 1995.
73. WHO. Regional Office of Western Pacific. Research guidelines for evaluating the safety and efficacy of herbal medicines. Manila: WHO, 1993.
74. WING, E.J.; WAHEED, A. & SHADDUCK, R.K. - " Changes in serum colony-stimulating factor and monocytic progenitor cells during *Listeria monocytogenes* infection in mice." **Infection and Immunity**, **45**: 180-184, 1984.
75. WING, E.J.; BARCZYNSKI, L.K.; WAHEED, A. & SHADDUCK, R.K. - "Effect of *Listeria monocytogenes* infection on serum levels of colony-stimulating factor and number of progenitor cells in immune and non-immune animals." **Infection and Immunity**, **49**: 325-328, 1985.
76. WING, E.J.; MAGEE, D.M. & BARCZYNSKI, L.K. "Analysis of colony-stimulating factors and macrophage progenitor cells in mice immunized against *Listeria monocytogenes* by adoptive transfer." **Infection and Immunity**, **55**: 1843-1847, 1987.
77. YOUNG, A. M., & CHEERS - " Colony-forming-cells and colony-stimulating activity during listeriosis in genetically resistant or susceptible mice." **Cellular Immunology**, **97**: 227-237, 1986.

VIII. Apêndice

TABELA 1. Número de células formadoras de colônias para granulócitos e macrófagos (CFU-GM) da medula óssea de camundongos Balb/c tratados com EHA *A. hispidum* ou tratados e infectados com *Listeria monocytogenes* (1×10^5 bactérias/animal) 3 horas após o término do tratamento. Cultura clonal realizada 48 horas após a infecção.

CFU-GM $\times 10^3$ - MEDULA								
	Controles (Não tratados)		Grupos tratados com 100mg/kg		Grupos tratados com 500mg/kg		Grupos tratados com 1000mg/kg	
	NT	I-48h	T	TI-48h	T	TI-48h	T	TI-48h
1	17,76	8,46	8,87	10,41	9,38	13,67	4,7	12,9
2	17,76	6,31	7,9	10,83	7,28	8,68	4,56	14,14
3	20,72	9,46	9,58	10,73	8,26	13,35	5,41	12,9
4	19,24	7,74	9,73	11,46	7,28	12,71	4,99	12,42
5	14,8	7,02	10,34	11,67	9,52	15,28	4,28	13,62
6	14,8	9,17	7,75	11,67	7,42	8,04	10,69	5,16
X	17,51	8,02	9,04	11,13	8,2	11,95	5,77	11,86
DP	2,16	1,12	0,95	0,49	0,95	2,66	2,22	3,05

NT-NÃO TRATADOS; I-INFECTADOS; T- TRATADOS; TI- TRATADOS E INFECTADOS.

Teste ANOVA – Tukey-Kramer ($p < 0,05$)

TABELA 2. Número de células formadoras de colônias para granulócitos e macrófagos (CFU-GM) da medula óssea de camundongos Balb/c tratados com EHA *A. hispidum* ou tratados e infectados com *Listeria monocytogenes* (1×10^5 bactérias/animal) 3 horas após o término do tratamento. Cultura clonal realizada 72 horas após a infecção.

CFU-GM x 10^3 - MEDULA								
	Controles (Não tratados)		Grupos tratados com 100mg/kg		Grupos tratados com 500mg/kg		Grupos tratados com 1000mg/kg	
	NT	I-72h	T	TI-72h	T	TI-72h	T	TI-72h
1	17,76	8,5	8,87	9,74	9,38	5,21	4,7	4,92
2	17,76	11,19	7,9	10,27	7,28	4,51	4,56	7,32
3	20,72	11,62	9,58	8,16	8,26	8,73	5,41	5,93
4	19,24	11,76	9,73	10,27	7,28	6,34	4,99	6,05
5	14,8	7,8	10,34	11,59	9,52	7,04	4,28	6,05
6	14,8	11,33	7,75	11,32	7,42	7,04	10,69	6,33
X	17,51	10,37	9,04	10,22	8,2	6,48	5,77	6,1
DP	2,16	1,59	0,95	1,13	0,95	1,37	2,22	0,70

NT-NÃO TRATADOS; I-INFECTADOS; T- TRATADOS; TI- TRATADOS E INFECTADOS. Teste ANOVA – Tukey-Kramer ($p<0,05$)

TABELA 3. Número de células formadoras de colônias para granulócitos e macrófagos (CFU-GM) do baço de camundongos Balb/c tratados com EHA *A. hispidum* ou tratados e infectados com *Listeria monocytogenes* (1×10^5 bactérias/animal) 3 horas após o término do tratamento. Cultura clonal realizada 48 horas após a infecção.

CFU-GM $\times 10^3$ - BAÇO								
	Controles (Não tratados)		Grupos tratados com 100mg/kg		Grupos tratados com 500mg/kg		Grupos tratados com 1000mg/kg	
	NT	I-48h	T	TI-48h	T	TI-48h	T	TI-48h
1	9,95	293,6	40,4	290,0	54	267	100	260,0
2	9,95	182,3	40	260,0	54	247	110	253,4
3	9,95	305,0	40	290,0	108,4	283	90	292,0
4	49,8	221,5	100	243,0	108,4	308,0	80	299,5
5	19,9	282,3	100,8	290,0	67,6	290,0	100	360,8
6	29,9	293,6	100	263,0	94,8	259,0	110	230,4
X	21,56	263,0	70,2	272,67	81,2	275,67	98,33	282,68
DP	14,57	45,17	30,07	18,42	23,56	20,33	10,67	41,99

NT-NÃO TRATADOS; I-INFECTADOS; T- TRATADOS; TI- TRATADOS E INFECTADOS.

Teste ANOVA – Tukey-Kramer ($p < 0,05$)

TABELA 4. Número de células formadoras de colônias para granulócitos e macrófagos (CFU-GM) do baço de camundongos Balb/c tratados com EHA *A. hispidum* ou tratados e infectados com *Listeria monocytogenes* (1×10^5 bactérias/animal) 3 horas após o término do tratamento. Cultura clonal realizada 72 horas após a infecção.

CFU-GM x10 ³ - BAÇO								
	Controles (Não tratados)		Grupos tratados com 100mg/kg		Grupos tratados com 500mg/kg		Grupos tratados com 1000mg/kg	
	NT	I-72h	T	TI-72h	T	TI-72h	T	TI-72h
1	9,95	330,0	40,4	139,0	54	132,0	100	821,0
2	9,95	387,0	40	100,0	54	150,0	110	1077,0
3	9,95	316,0	40	135,0	108,4	120,0	90	947,0
4	49,8	287,0	100	122,0	108,4	120,0	80	947,0
5	19,9	374,0	100,8	153,0	67,6	126,0	100	960,0
6	29,9	301,0	100	141,0	94,8	128,0	110	1006,0
X	21,56	332,5	70,2	131,67	81,2	129	98,33	959,7
DP	14,57	36,59	30,07	16,85	23,56	1,18	10,67	76,88

NT-NÃO TRATADOS; I-INFECTADOS; T- TRATADOS; TI- TRATADOS E INFECTADOS. Teste ANOVA – Tukey-Kramer (p<0,05)

TABELA 5. Peso do baço (gramas) de camundongos Balb/c tratados com EHA *A. hispidum* ou tratados e infectados com *Listeria monocytogenes* (1×10^5 bactérias/animal) 3 horas após o término do tratamento. Peso 48 horas após a infecção.

CFU-GM - PESO BAÇO (gramas)								
	Controles (Não tratados)		Grupos tratados com 100mg/kg		Grupos tratados com 500mg/kg		Grupos tratados com 1000mg/kg	
	NT	I-48h	T	TI-48h	T	TI-48h	T	TI-48h
1	0,179	0,462	0,197	0,193	0,260	0,257	0,283	0,186
2	0,155	0,700	0,183	0,208	0,215	0,234	0,232	0,198
3	0,120	0,284	0,201	0,174	0,200	0,169	0,345	0,317
4	0,172	0,261	0,200	0,179	0,235	0,191	0,197	0,227
5	0,200	0,400	0,202	0,169	0,257	0,222	0,208	0,273
6	0,146	0,350	0,167	0,169	0,206	0,169	0,182	0,250
X	0,162	0,409	0,191	0,182	0,228	0,207	0,241	0,241
DP	0,025	0,146	0,012	0,014	0,024	0,033	0,056	0,044

NT-NÃO TRATADOS; I-INFECTADOS; T- TRATADOS; TI- TRATADOS E INFECTADOS.

Teste ANOVA – Duncan e Tukey-Kramer ($p<0,05$)

TABELA 6. Peso do baço (gramas) de camundongos Balb/c tratados com EHA *A. hispidum* ou tratados e infectados com *Listeria monocytogenes* (1×10^5 bactérias/animal) 3 horas após o término do tratamento. Peso 72 horas após a infecção.

CFU-GM - PESO BAÇO (gramas)								
	Controles (Não tratados)		Grupos tratados com 100mg/kg		Grupos tratados com 500mg/kg		Grupos tratados com 1000mg/kg	
	NT	I-72h	T	TI-72h	T	TI-72h	T	TI-72h
1	0,179	0,326	0,197	0,305	0,260	0,379	0,283	0,361
2	0,155	0,243	0,183	0,257	0,215	0,225	0,232	0,284
3	0,120	0,297	0,201	0,229	0,200	0,317	0,345	0,205
4	0,172	0,234	0,200	0,225	0,235	0,209	0,197	0,244
5	0,200	0,211	0,202	0,258	0,257	0,249	0,208	0,400
6	0,146	0,280	0,167	0,260	0,206	0,315	0,182	0,215
X	0,162	0,265	0,191	0,256	0,228	0,282	0,241	0,284
DP	0,025	0,039	0,012	0,026	0,024	0,06	0,056	0,073

NT-NÃO TRATADOS; I-INFECTADOS; T- TRATADOS; TI- TRATADOS E INFECTADOS.

Teste ANOVA – Duncan e Tukey-Kramer ($p<0,05$)

TABELA 7. Curva de sobrevida de camundongos Balb/c (n=20) tratados com 3 diferentes doses de EHA *A.hispidum* durante 5 dias e infectados com dose letal de *Listeria monocytogenes* (3×10^5 bactérias/animal), 3 horas após o término do tratamento.

Sobrevida de animais tratados com EHA de *A.hispidum* e infectados com *Listeria monocytogenes*

Dias	Controle (Infectado)	TI 100 mg/Kg	TI 500 mg/Kg	TI 1000 mg/Kg
2º	4 †	3 †	-	-
3º	4 †	2 †	-	-
4º	4 †	3 †	4 †	-
5º	5 †	2 †	-	4 †
6º	3 †	4 †	-	4 †
17º	-	-	4 †	-
30º	-	6 vivos	12 vivos	12 vivos
Total de mortes	20	14	08	08
Total de animais	20	20	20	20

Método Kaplan-Meyer, teste Log-rank (Cox-Mantel) ($p < 0,001$).

TI = tratado e infectado; T = tratado;